

روش تحلیلی محاسبه نشت از کانال نیمه بیضی به روش نگاهت کانفرمال

سید حسین مجتهدی^۱، محمود فغفور مغربی^{۲*}

چکیده

در این مقاله، راه حل تحلیلی برای محاسبه نشت حالت پایدار محصور نشده از یک کانال منحنی شکل با مقطع نیمه بیضی ارائه شده است. راه حل تحلیلی محاسبه نشت از کانال های منحنی شکل به دلیل مشکل بودن نگاهت کانفرمال پروفیل سطح مقطع این گونه کانال ها عمومیت نیافته است. در کار حاضر از هیدروگراف سرعت و تبدیل شوارتز-کریستوفل استفاده شده است. در بدست آوردن نگاهت پروفیل سطح مقطع کانال از روشی به نام روش معکوس استفاده می شود که در آن مرز پروفیل سطح مقطع واقعی کانال در امتداد یک دایره در صفحه هیدروگراف سرعت نگاهت می شود. محاسبات در حالت نشت پایدار از کانال نیمه بیضی که در زیر آن یک لایه زهکش در عمق محدود در زیر بستر کانال قرار گرفته است، انجام می شود. از این روش می توان مقدار نشت، با فرض قرارگیری لایه زهکش در عمق بی نهایت را نیز بدست آورد. از راه حل ارائه شده میزان دبی نشت، معادلات پارامتریک برای نشان دادن مکان هندسی منحنی سطح آزاد و مقدار عرض نشت در لایه زهکش را می توان بدست آورد. همچنین می توان گفت که دقت روش معکوس در مقایسه با روش های تحلیلی سایر محققین نظیر کازنی قابل قبول بوده و محدودیت آن یعنی غیر عملی بودن شکل مقطع کانال با نسبت های کوچک عرض سطح آب به عمق را نخواهد داشت.

واژه های کلیدی: نشت، نگاهت کانفرمال، روش معکوس، لایه زهکش، منحنی سطح آزاد

مقدمه

کاسیموف (۲۰۰۳) اشکالات روش وی را متذکر گردیده است. ایلینسکی و کاسیموف (۱۹۸۴) شکل بهینه یک کانال آبیاری منحنی شکل را از دیدگاه حداقل اتلاف نشت، با بکار بردن روش مسائل مقدار مرزی معکوس بدست آوردند. سوامی و کاشیپ (۲۰۰۱) نشت از کانال های بدون گوشه شامل کانال دایره ای را در حالت گسترش نامحدود محیط متخلخل (لایه زهکش در عمق بی نهایت) با بکار بردن روش عددی تفاضلات محدود بدست آوردند که روش آن ها منجر به دیاگرام هایی گردید که توسط کاسیموف (۲۰۰۳) با جزئیات بیشتری توضیح داده شده است. همچنین سوامی و کاشیپ (۲۰۰۴) نشت از کانال های بدون گوشه شامل کانال دایره ای را در حالت وجود یک لایه زهکش در عمق محدود در زیر بستر کانال، ارائه نمودند. راه حل های تقریبی برای یافتن مقدار نشت از کانال توسط روش های عددی (تفاضل محدود، المان محدود، انتگرال مرزی و ...) به دلیل دسترسی آسان به رایانه های دیجیتال با سرعت های بالا همراه با نرم افزارهای تخصصی، بدست آمده اند. محققینی نظیر رمسون و همکاران (۱۹۷۱)، هوپاکورن و پیندر (۱۹۸۳) و لیگت و لیو (۱۹۸۳) (نقل از چاهار، ۲۰۰۷) در زمینه روش های عددی محاسبه نشت، مطالعاتی را انجام داده اند.

با توجه به بررسی نتایج مطالعات روش های تحلیلی که توسط

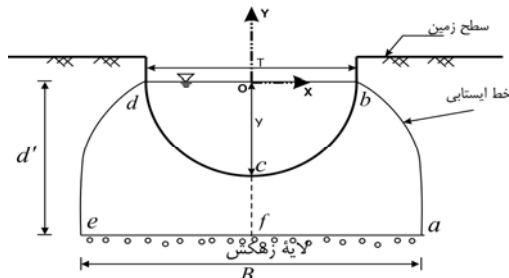
مطالعات صورت گرفته در زمینه محاسبات نشت از کانال های بدون گوشه، چه روش های تحلیلی و چه روش های عددی، توسط محققین مختلف با بکار بردن روش های متفاوتی انجام گرفته است. کازنی (نقل از هار، ۱۹۶۲)، نشت از یک کانال منحنی شکل را با بکار بردن روش تابع ژاکوفسکی تحقیق کرد و دریافت که شکل پروفیل کانال بدست آمده دارای شکل گردنده (فرره ای) است. آناخائف (۲۰۰۴) راه حلی را برای آبراهه های منحنی شکل بدست آورد. در این روش وی شکل آبراهه را در صفحه ژاکوفسکی توسط معادله خانواده ای از لمنیسکات ها با روش نگاهت کانفرمال ارائه نمود و نشان داد که حالت خاصی از آن به شکل گردنده کازنی تبدیل می شود. هالک و اسوک (۱۹۷۹) نشت از یک مقطع سهمی شکل را با استفاده از تابع ژاکوفسکی و روش معکوس بدست آوردند. وریگین (نقل از کوواکس، ۱۹۸۱) به صورت تحلیلی راه حل تقریبی ای را برای نشت از یک مقطع دایره ای بر حسب سری های به سرعت همگرا بدست آورد.

۱- کارشناس ارشد سازه های هیدرولیکی

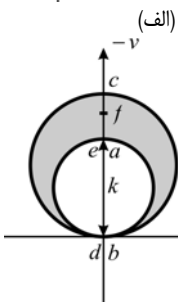
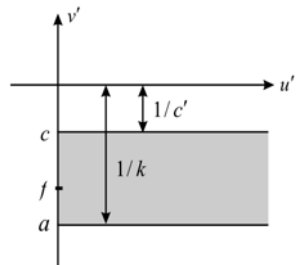
۲- دانشیار دانشگاه فردوسی مشهد

* - نویسنده مسئول : (Email: maghrebi@ferdowsi.um.ac.ir)

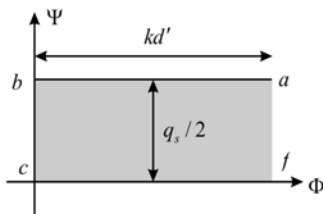
گیری کرد که فرض در نظر گرفته شده برای نگاشت مرز bcd قابل قبول است یا باید فرض دیگری را برای نگاشت آن انتخاب نمود. پس با توضیحات داده شده می توان فرض کرد که مرز مذکور مطابق شکل (۲-الف) در امتداد یک دایره به قطر c' در صفحه هدوگراف سرعت نگاشت می شود.



(شکل ۱) - صفحه فیزیکی مسأله (صفحه Z)



(شکل ۲) - (الف) صفحه هدوگراف سرعت و (ب) معکوس آن



(شکل ۳) - صفحه پتانسیل مختلط

صفحه معکوس هدوگراف سرعت و صفحه پتانسیل مختلط به ترتیب در اشکال ۲-ب) و ۳) نشان داده شده اند. شکل این صفحات با انجام گام های استاندارد ارائه شده هار (۱۹۶۲) و

محققین قبلی ارائه گردیده است، ملاحظه شد که نتایج برخی از کارهای انجام گرفته دارای ضعف ها و یا محدودیت هایی می باشند و یا این که برخی از نتایج جانبی دیگر از آن ها استخراج نشده است. همچنین انجام راه حل تحلیلی محاسبه نشت از مقطع مشخصی نظیر مقطع نیمه بیضی توسط روش هدوگراف سرعت و تبدیل شوارتز-کریستوفل، در کارهای محققین قبلی مشاهده نمی شود. بنابراین انجام راه حل تحلیلی حالت مذکور و بررسی این که آیا راه حل بکار گرفته شده و نتایج حاصل شده دارای محدودیت های مطالعات پیشین است یا نه، جزء مهم ترین اهداف مطالعه حاضر می باشد.

راه حل تحلیلی

مقطع مورد استفاده برای کانال منحنی شکل، یک مقطع نیمه بیضی می باشد که قطر بزرگتر آن، عرض سطح آب یعنی T و قطر کوچکتر، دو برابر عمق آب در کانال یعنی l می باشد. الگوی نشت مطابق شکل (۱) در نظر گرفته می شود. محیط متخلخل زیرین کانال، محیطی همگن، همسانگرد و با عمق نامحدود است. از اثرات موئینگی، تراوش و تبخیر صرف نظر و فرض می گردد که جریان حالت پایدار دارد و قانون دارسی را ارضاء می نماید. به دلیل طول قابل توجه کانال، جریان نشت بصورت دو بعدی در صفحه قائم در نظر گرفته می شود. راه حل ابتدا برای حالت وجود لایه زهکش در عمق محدود در زیر بستر کانال انجام می گیرد. به دلیل تقارن قائم محدوده جریان نشت، راه حل برای نیمی از محدوده نشت یعنی $abcfa$ انجام می شود. پتانسیل مختلط بصورت $w = f(z) = \phi(x, y) + i\psi(x, y)$ تعریف می شود که در آن، ϕ پتانسیل سرعت (m^2/s) و ψ نیز تابع جریان (m^2/s) می باشند. اگر صفحه فیزیکی مسأله بصورت $Z = X + iY$ تعریف شود، سپس قانون دارسی، سرعت در جهات X و Y را به ترتیب برابر $u = \partial\phi/\partial X = -k(\partial h/\partial X)$ و $v = \partial\phi/\partial Y = -k(\partial h/\partial Y)$ خواهد داد. در این روابط h برابر هد (m) و k برابر نفوذپذیری (m/s) می باشند. در صفحه هدوگراف سرعت $(dw/dZ = u - iv)$ خط ایستابی یعنی ab در امتداد یک دایره به شعاع k و مرکز $(0, -k/2)$ نگاشت می شود. نکته مهمی که در این بخش باید به آن اشاره شود این است که شکل دقیق نگاشت مرز کانال یعنی bcd مشخص نمی باشد. بنابراین روشی که در اینجا اتخاذ می شود، روش معکوس نام دارد. در ناحیه dw/dZ (هدوگراف سرعت)، شکل مرز کانال bcd مطابق شکل (۲) بصورت یک دایره انتخاب می شود که بر روی محور v قرار دارد. این فرض در راه حل ذکر شده معرفی می شود و فقط بعد از اتمام کلیه عملیات ریاضی و محاسبات لازم و بدست آوردن معادله پروفیل کانال با این روش و مقایسه آن با شکل سطح مقطع در نظر گرفته شده برای کانال مسأله، می توان تصمیم

خواهند آمد:

$$T = \frac{q_s}{c'} \quad (5)$$

$$y = \frac{q_s}{2\pi K(1-\alpha)} \left(\frac{1}{k} - \frac{1}{c'} \right) \int_0^{-\infty} \frac{-\sinh^{-1} \sqrt{-t}}{\sqrt{t(1-t)(t-\alpha)}} dt$$

بنابراین با استفاده از روابط بالا می‌توان دبی نشت یعنی q_s را بدست آورد:

$$q_s = k \left(T + \frac{2\pi y K(1-\alpha)}{\int_0^{-\infty} \frac{-\sinh^{-1} \sqrt{-t}}{\sqrt{t(1-t)(t-\alpha)}} dt} \right) \quad (6)$$

حال می‌توان تابع نشت را بصورت $F_s = T/y + 2\pi K(1-\alpha) \int_0^{-\infty} \frac{-\sinh^{-1} \sqrt{-t}}{\sqrt{t(1-t)(t-\alpha)}} dt$ تعریف کرد و دبی نشت را با رابطه $q_s = kyF_s = kB$ نشان داد. حال با جای‌گذاری مقادیر بدست آمده اخیر در معادله (۳) می‌توان معادله مذکور را به شکل زیر تبدیل نمود:

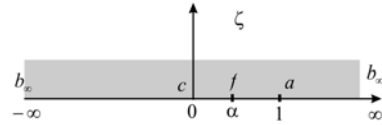
$$Z = \frac{iy}{\int_0^{-\infty} \frac{-\sinh^{-1} \sqrt{-t}}{\sqrt{t(1-t)(t-\alpha)}} dt} \int_0^{\zeta} \frac{-\sinh^{-1} \sqrt{-t}}{\sqrt{t(1-t)(t-\alpha)}} dt + \quad (7)$$

با اعمال شرایط سطح آزاد یعنی ab که $1 \leq \zeta < \infty$ است در معادله (۷) معادله سطح آزاد نیز بدست خواهد آمد:

$$Z = iy \int_{-\infty}^{\zeta} \frac{\cosh^{-1} \sqrt{t}}{\sqrt{t(1-t)(t-\alpha)}} dt + \int_0^{-\infty} \frac{-\sinh^{-1} \sqrt{-t}}{\sqrt{t(1-t)(t-\alpha)}} dt + 1/4K(1-\alpha) \left(T + 2\pi y K(1-\alpha) \int_0^{-\infty} \frac{-\sinh^{-1} \sqrt{-t}}{\sqrt{t(1-t)(t-\alpha)}} dt \right) \times \quad (8)$$

جهت کنترل معادله‌ای که پروفیل کانال را ارائه می‌کند از فرض روش معکوس استفاده می‌شود. برای این منظور از معادله (۷) کمک گرفته خواهد شد. شرط مرز پروفیل کانال یعنی شرط مرز bc بر این معادله اعمال می‌شود. در این مرز $-\infty < \zeta \leq 0$ است. بنابراین رابطه (۷) بصورت زیر تبدیل می‌گردد:

پولوبارینوا-کوچینا (۱۹۶۲) کشیده می‌شوند. صفحه dZ/dw و صفحه w توسط تبدیل شوارتز-کریستوفل بر روی نیمه بالایی صفحه کمکی ζ مطابق شکل (۴) نگاشت خواهند شد.



(شکل ۴) - صفحه کمکی

با نگاشت صفحه پتانسیل مختلط بر روی صفحه ζ معادله زیر بدست می‌آید:

$$= \frac{iq_s}{4K(1-\alpha)} \int_0^{\zeta} \frac{dt}{\sqrt{t(1-t)(t-\alpha)}} \quad (1)$$

که در این رابطه $K(1-\alpha)$ انتگرال بیضوی کامل نوع اول با مدول $1-\alpha$ ، q_s دبی نشت (متر مربع بر ثانیه) و t متغیر مجازی می‌باشد. بطور مشابه با نگاشت صفحه dZ/dw بر روی صفحه ζ خواهیم داشت:

$$\frac{dZ}{dw} = \frac{1}{\pi} \left(\frac{1}{k} - \frac{1}{c'} \right) \int_0^{\zeta} \frac{dt}{\sqrt{t(t-1)}} - \frac{i}{c'} \quad (2)$$

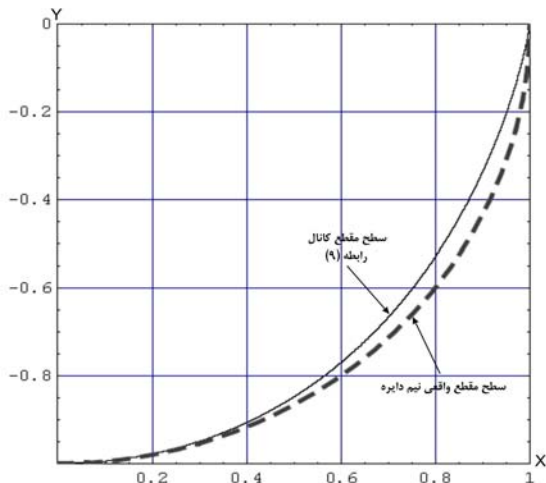
حال برای بدست آوردن نگاشت صفحه فیزیکی مسأله یعنی Z با استفاده از قانون مشتق‌گیری زنجیری $dZ/d\zeta = (dZ/dw)(dw/d\zeta)$ خواهیم داشت:

$$Z = \frac{iq_s}{2\pi K(1-\alpha)} \left(\frac{1}{k} - \frac{1}{c'} \right) \int_0^{\zeta} \frac{-\sinh^{-1} \sqrt{-t}}{\sqrt{t(1-t)(t-\alpha)}} dt + \frac{q_s}{4c'K(1-\alpha)} \int_0^{\zeta} \frac{dt}{\sqrt{t(1-t)(t-\alpha)}} - iy \quad (3)$$

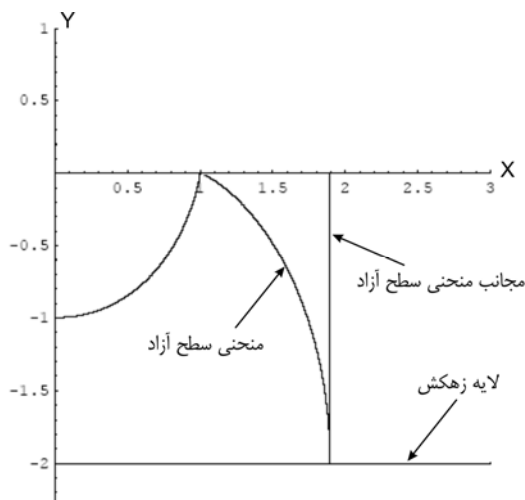
اکنون برای ادامه محاسبات و بدست آوردن دبی نشت و برخی از مقادیر لازم، شرط نقطه b در صفحات ζ و Z بر معادله (۳) اعمال می‌شود $(b(\zeta = -\infty, Z = T/2))$:

$$= \frac{iq_s}{2\pi K(1-\alpha)} \left(\frac{1}{k} - \frac{1}{c'} \right) \int_0^{-\infty} \frac{-\sinh^{-1} \sqrt{-t}}{\sqrt{t(1-t)(t-\alpha)}} dt + \frac{q_s}{c'K(1-\alpha)} \int_0^{-\infty} \frac{dt}{\sqrt{t(1-t)(t-\alpha)}} - iy \quad (4)$$

که در این رابطه با محاسبه دومین انتگرال، جای‌گذاری آن در معادله و جدا کردن بخش‌های موهومی و حقیقی، روابط زیر بدست



شکل ۵- مقایسه پروفیل سطح مقطع معادله (۹) با پروفیل سطح مقطع نیم دایره واقعی



شکل ۶- دیاگرام شکل پروفیل و خط فریاتیگ کانال در حالت $d' = 2m$ و $T/y = 2$

اما همان طور که از مطالعات محققین قبلی ملاحظه می شود، معادله پروفیل کانال بدست آمده توسط کازنی و یا ودرنیکف-پاولوفسکی دارای این محدودیت است که نمی توان از آن ها در حالت عمیق استفاده نمود. در واقع در کانال عمیق، شکل کانال خودش را قطع می کند و کاربرد فیزیکی خود را از دست می دهد. این موضوع با رسم معادله پروفیل کانال مذکور که بصورت معادله (۱۲) است در شکل (۷) نشان داده شده است.

$$\pm X = y \sin \left[\cos^{-1} \left(\frac{Y}{y} \right) \right] - \frac{y(2+T/y)}{\pi} \cos^{-1} \left(\frac{Y}{y} \right) \quad (12)$$

حال اگر نسبت T/y از مقدار حدی $\pi - 2$ کوچکتر باشد، شکل کانال خودش را قطع می کند و نمی توان از آن برای مقاصد

$$Z = \frac{T}{4K(1-\alpha)} \int_0^{\zeta} \frac{dt}{\sqrt{t(1-t)(t-\alpha)}} + i \left[y \int_0^{\zeta} \frac{-\sinh^{-1} \sqrt{-t}}{\sqrt{t(1-t)(t-\alpha)}} dt \right] / \left[\int_0^{\infty} \frac{-\sinh^{-1} \sqrt{-t}}{\sqrt{t(1-t)(t-\alpha)}} dt - y \right]; \quad (9)$$

$$-\infty \leq \zeta \leq 0$$

حال برای محاسبه مقدار دبی نشت، مختصات معادله سطح آزاد و پروفیل کانال بایستی مقدار پارامتر مجهول α محاسبه گردد. برای این منظور با اعمال شرط نقطه $(\zeta = 1, Z = B/2 - id')$ در معادله (۷) داریم:

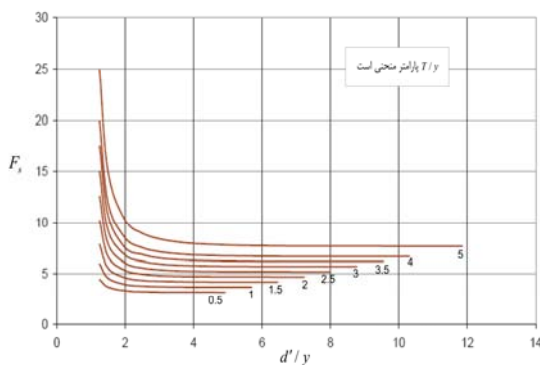
$$\frac{d'}{y} = 1 - \left(1 / \int_0^{\infty} \frac{-\sinh^{-1} \sqrt{-t}}{\sqrt{t(1-t)(t-\alpha)}} dt \right) \int_0^{\alpha} \frac{-\sinh^{-1} \sqrt{-t}}{\sqrt{t(1-t)(t-\alpha)}} dt - \frac{T}{4K(1-\alpha)} \int_0^{\alpha} \frac{dt}{\sqrt{t(1-t)(t-\alpha)}} \quad (10)$$

$$\frac{B}{2} = \frac{T}{4K(1-\alpha)} \int_{\alpha}^1 \frac{dt}{\sqrt{t(1-t)(t-\alpha)}} + \left(iy \int_0^{\infty} \frac{\sinh^{-1} \sqrt{-t}}{\sqrt{t(1-t)(t-\alpha)}} dt \right) \int_{\alpha}^1 \frac{\sinh^{-1} \sqrt{-t}}{\sqrt{t(1-t)(t-\alpha)}} dt \quad (11)$$

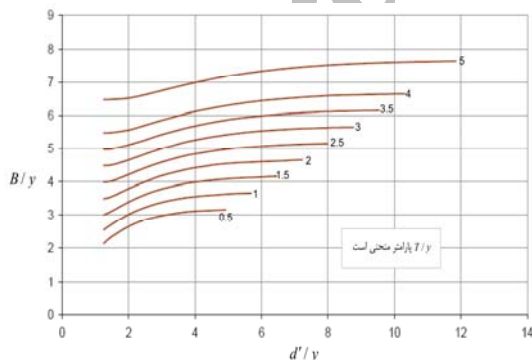
با داشتن d' یعنی مقدار عمق لایه زهکش نسبت به سطح آب کانال، مقدار پارامتر مجهول از رابطه (۱۰) محاسبه خواهد شد و سپس B یعنی عرض نشت در لایه زهکش از رابطه (۱۱) بدست خواهد آمد.

در این بخش با رسم معادله (۹) برای یک مقطع نیم دایره، ملاحظه می شود که فرض روش معکوس صحیح بوده و حداکثر خطا بین شعاع سطح مقطع معادله (۹) و شعاع سطح مقطع نیم دایره واقعی ۴/۱۸ درصد می باشد. شکل (۵) مقایسه ذکر شده بین سطح مقطع واقعی نیم دایره و سطح مقطع حاصل شده از معادله (۹) را نشان می دهد. در شکل (۶) نیز سطح مقطع پروفیل کانال با $T/y = 2$ در حالت وجود لایه زهکشی به عمق $d' = 2m$ از سطح آب کانال و منحنی سطح آزاد همراه با مجانب آن رسم شده است. مقدار پارامتر α در حالت مذکور برابر ۰/۲۲ می باشد.

که توسط محققین مختلف انجام گرفته است، می‌توان ابتدا روش کازنی و ودرنیکف-پاولوفسکی را در نظر گرفت. با توجه به این که راه‌حل تحلیلی انجام شده توسط محققین مذکور در حالت گسترش نامحدود محیط متخلخل است پس مقدار نشت مطالعه حاضر نیز در این حالت محاسبه می‌شود. با فرض $T/y = 5$ مقدار بدون نشت یعنی q_s/k برای مقطع ودرنیکف-پاولوفسکی برابر $7/00$ و برای مقطع نیمه بیضی از رابطه $q_s = kyF_s = kB$ برابر $7/6938$ خواهد شد که مقطع نیمه بیضی در حدود ۱۰ درصد نشت بیشتری را تخمین می‌زند. اما اگر مقطع سهمی شکل هالک و اسوک برای مقایسه در نظر گرفته شود در حالت $T/y = 2$ مقدار q_s/k برابر $4/5$ و برای مقطع نیمه بیضی در این حالت، مقدار q_s/k برابر $4/6938$ خواهد شد. بنابراین مشاهده می‌شود که روش محاسبه نشت در مورد مقطع نیمه بیضی، میزان نشت را در حدود $4/3$ درصد بیشتر از روش هالک و اسوک تخمین می‌زند و برای محاسبه نشت از یک کانال سهمی شکل نیز می‌تواند بکار برده شود و دقت مناسبی دارد. البته با توجه به توضیحات گفته شده، روش هالک و اسوک برای محاسبه نشت از یک کانال با مقطع سهمی شکل دقیق‌تر می‌باشد.



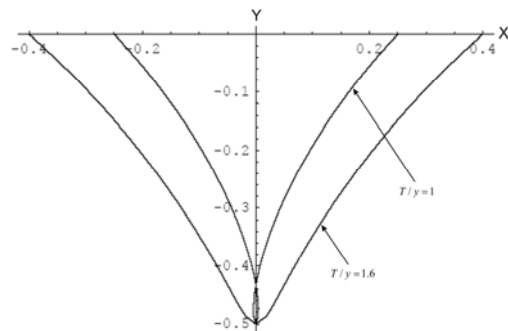
(شکل ۷) - منحنی تغییرات تابع نشت با تغییرات d'/y



(شکل ۸) - منحنی تغییرات نسبت عرض نشت به عمق با تغییرات d'/y

d'/y

عملی بهره جست. محدودیت فوق الذکر در مورد معادله پروفیل کانال که توسط معادله (۹) بدست آمده وجود ندارد و می‌توان آن را برای یک کانال عریض تا یک کانال عمیق و در حالت وجود لایه زهکش در زیر بستر کانال در نظر گرفت. در مطالعات محققین یاد شده از روش تابع ژاکوفسکی برای محاسبه نشت و نیز بدست آوردن معادله پروفیل کانال استفاده شده است. در مورد روش هالک و اسوک (۱۹۷۹) که در واقع راه‌حل دقیق‌تری از مسأله نشت ودرنیکف-پاولوفسکی برای یک مقطع سهمی شکل با بکار بردن تابع ژاکوفسکی می‌باشد، مختصات پروفیل سطح مقطع بدست آمده، دقیق‌تر است و در حین انجام محاسبات نشت تعیین می‌گردد. بنابراین می‌توان گفت که محدودیت معادله کازنی را نخواهد داشت اما همان‌طور که گفته شد راه‌حل مسأله برای یک کانال منحنی شکل با مقطع سهمی بکار گرفته شده است.



(شکل ۹) - شکل کانال کازنی برای دو حالت مختلف T/y

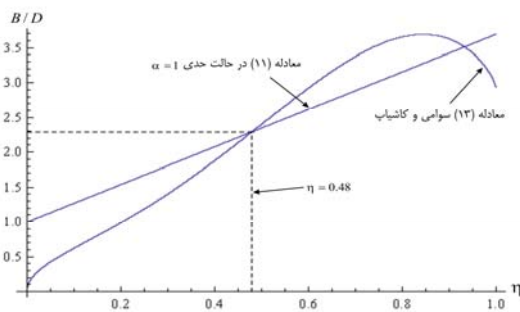
در اشکال (۸) و (۹) منحنی تغییرات تابع نشت و عرض نشت به عمق با تغییرات d'/y نشان داده شده است. پارامتر منحنی، نسبت T/y است که از $0/5$ تا 5 در نظر گرفته شده است. با داشتن مقدار T/y و به ازای نسبت‌های مختلف d'/y می‌توان از شکل (۸) مقدار تابع نشت و از شکل (۹) مقدار نسبت B/y را بدست آورد و مطابق رابطه $q_s = kyF_s = kB$ مقدار دبی نشت را نتیجه گرفت. دیاگرام‌های ذکر شده برای دیگر نسبت‌های T/y و با در نظر گرفتن مقادیر مختلف d'/y قابل ترسیم است. همچنین منحنی تغییرات d'/y نسبت به تغییرات پارامتر α نیز در شکل (۱۰) نشان داده شده است. همان‌طور که ملاحظه می‌شود در حالت حدی $\alpha = 1$ می‌توان گفت که لایه زهکش در عمق بسیار زیاد قرار دارد و یا این که محیط متخلخل گسترش نامحدود دارد که در این حالت نقطه f و a از ناحیه نشت هر دو بر روی نقطه $1 = \zeta$ در صفحه کمکی نگاشت خواهند شد.

حال در این بخش جهت مقایسه مقدار نشت مقطع نیمه بیضی مطالعه حاضر با سایر محاسبات مقدار نشت کانال‌های منحنی شکل

مقایسه کرد. با فرض $\eta = y/D = 0.5$ ، مقدار عرض نشت به عرض سطح آب از رابطه (۱۳) برابر $2/4$ و از رابطه (۱۴) برابر $2/3469$ خواهد شد. در واقع می توان گفت که راه حل عددی سوامی و کاشیاب (۲۰۰۱) عرض نشت را در حدود $2/26$ درصد بیشتر از روش تحلیلی ارائه شده، تخمین می زند. در شکل (۱۲) نمودار دو رابطه (۱۳) و (۱۴) رسم شده است.

با توجه به مقدار اختلاف و وجود خطا در نتایج دو معادله اخیر در حالت مقطع با قوس دایروی، نقطه تقاطع دو منحنی علیرغم انتظار در $\eta = 0.5$ نمی باشد بلکه در $\eta = 0.48$ رخ می دهد.

سوامی و کاشیاب (۲۰۰۴) روابطی را برای محاسبه عرض نشت از مقطع دایره ای در حالت وجود یک لایه زهکش به عمق d از سطح آزاد آب در کانال، ارائه دادند. رابطه عرض نشت برای یک مقطع دایره ای مطابق رابطه (۱۵) می باشد. با فرض $T/y = 2$ و قرار داشتن لایه زهکشی در عمق ۲ متری از سطح آب کانال می توان نشت در دو حالت رابطه (۱۳) و رابطه (۱۱) را محاسبه و مقایسه نمود؛



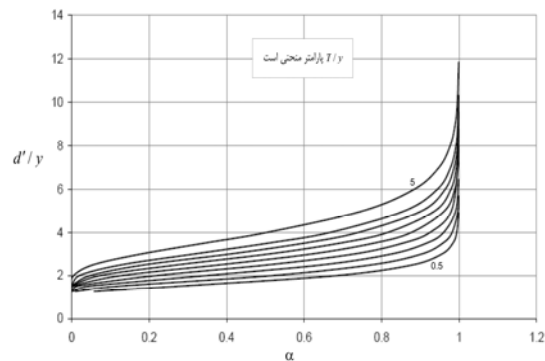
شکل (۱۲) - مقایسه عرض نشت مقطع با قوس دایروی در دو حالت عددی و تحلیلی

$$B = D \left[\left(\frac{0.87\eta^{-0.08} + 1}{(d/y - 1)^{0.5}} \right)^{6.25} + \left(\frac{B_\infty}{D} \right)^{6.25} \right]^{0.16} \quad (15)$$

با قرار دادن $\alpha = 0.22$ ، $D = 2m$ ، $\eta = 0.5$ ، $B_\infty = 4.8m$ و $d/y = 2$ در رابطه بالا $B = 4.973m$ بدست می آید و با استفاده از رابطه (۱۱) و قرار دادن مقادیر معلوم در آن نیز مقدار عرض نشت $B = 3.793m$ حاصل خواهد شد.

مشاهده می شود که تخمین رابطه (۱۱) از مقدار عرض نشت، کمتر از مقدار متناظر رابطه (۱۵) می باشد. در واقع رابطه سوامی و کاشیاب (۲۰۰۴) عرض نشت را در حدود $31/13$ درصد بیشتر از راه حل تحلیلی مطالعه حاضر تخمین می زند که البته این مقدار، تخمین دست بالایی می باشد.

بررسی نتایج

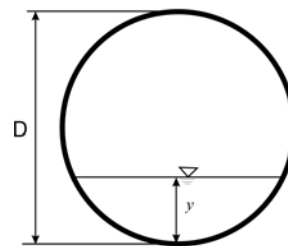


شکل (۱۰) - منحنی تغییرات d'/y نسبت به پارامتر α به ازای نسبت های مختلف T/y

اما مهم ترین مقایسه در این بخش است که دقت روش عددی تفاضل محدود سوامی و کاشیاب (۲۰۰۴ و ۲۰۰۱) در مورد یک مقطع دایره ای با روش تحلیلی مطالعه حاضر سنجیده می شود. سوامی و کاشیاب (۲۰۰۱) ابتدا نشت را برای یک مقطع دایره ای در حالت گسترش نامحدود محیط متخلخل بدست آوردند. رابطه عرض نشت در مقاله سوامی و کاشیاب (۲۰۰۱) بصورت معادله زیر است:

$$B = D \left\{ \left[2\sqrt{\eta(1-\eta)} + 6.24(\eta^{-1} - 1)^{-1.65} \right]^{-0.5} + \left[0.584 \left[1 + 3.55(\eta^{-1} - 1)^{0.8} \right]^{-0.5} \right]^{-2} \right\} \quad (13)$$

که در این رابطه D قطر مقطع دایره ای، y عمق مقطع و $\eta = y/D$ می باشد. مقطع در نظر گرفته شده توسط سوامی و کاشیاب (۲۰۰۱) بصورت شکل (۱۱) می باشد.



شکل (۱۱) - مقطع دایره ای در نظر گرفته شده توسط سوامی و کاشیاب

عرض نشت روش تحلیلی در حالت گسترش نامحدود محیط متخلخل یعنی زمانی که $\alpha = 1$ و نقاط a و f هر دو بر روی نقطه $\zeta = 1$ نگاشت می شوند، بصورت رابطه زیر بیان می شود:

$$B = T + \frac{\pi^2 y}{4G} \quad (14)$$

حال برای مقطع با قوس دایره ای، می توان عرض نشت را از دو رابطه (۱۳) و (۱۴) به ترتیب در دو حالت عددی و تحلیلی با هم

نتیجه گیری

از انجام راه حل تحلیلی برای محاسبه نشت از یک کانال منحنی شکل به روش هیدوگراف سرعت و تبدیل شوارتز- کریستوفل و بررسی روابط و منحنی های بدست آمده می توان به نتایج ذیل اشاره کرد:

۱- فرض در نظر گرفته شده در ابتدای راه حل تحلیلی در مورد نگاشت پروفیل سطح مقطع کانال بر روی صفحه هیدوگراف سرعت قابل قبول است.

۲- روند تغییرات منحنی سطح آزاد به عنوان بالاترین خط جریان در محدوده جریان نشت، روند قابل قبولی دارد و به خوبی نشان دهنده منحنی سطح آزاد برای حالت نشت در نظر گرفته شده می باشد.

۳- با توجه به معادله پروفیل بدست آمده برای کانال مذکور، این کانال محدودیت کانال کازنی را ندارد و می تواند در حالت عمیق تا عریض مورد استفاده واقع شود.

۴- در مقایسه با میزان نشت از کانال سوامی و کاشیپ (۲۰۰۱) برای یک مقطع دایره ای، کانال مطالعه شده در حالت مقطع نیم دایره، نشت کمتری را تخمین می زند. در این حالت، می توان گفت که تا مقدار $\eta = 0.48$ مقدار نشت از مقطع نیمه بیضی با T/y یکسان با مقطع دایره ای سوامی و کاشیپ (۲۰۰۱) بیشتر است. این بیشتر بودن مقدار نشت تا مقدار η ذکر شده ادامه دارد. در این مقدار، عرض نشت در دو حالت بر هم منطبق می شوند و در حالت مقطع نیم دایره ($\eta = 0.5$)، عرض نشت روش سوامی و کاشیپ (۲۰۰۱) بیشتر از روش تحلیلی خواهد شد.

۵- در حالت مقایسه مقطع مورد مطالعه با معادلات بدست آمده توسط سوامی و کاشیپ (۲۰۰۴) بر روی مقطع دایره ای وقتی لایه زهکش در عمق محدودی قرار دارد، می توان گفت مقطع منحنی شکل مطالعه حاضر، تخمین کمتری را از عرض نشت خواهد داشت. با توجه به این که روش انجام گرفته در مطالعه حاضر یک روش تحلیلی محسوب می شود که در آن از بحث توابع مختلط استفاده شده است و تمام محاسبات انجام شده در حل معادلات و بدست آوردن روابط موجود بصورت تحلیلی و با استفاده از نرم افزار Mathematica 5.1 (ولفرم، ۲۰۰۳) صورت گرفته است، طبیعی است که دقت آن از روش عددی تفاضلات محدود سوامی و کاشیپ (۲۰۰۱ و ۲۰۰۴) بیشتر باشد و با توجه به شرایط جریان نشت جواب های دقیق تری را ارائه دهد. ضمن این که با رسم معادلات بدست آمده مثل پروفیل سطح مقطع کانال و منحنی سطح آزاد و بررسی روند تغییرات آنها می توان پی برد که روش تحلیلی انجام شده از دقت کافی برخوردار است.

۶- هدف اصلی در کار حاضر بدست آوردن یک رابطه تحلیلی جهت محاسبه نشت بوده است در عین حال با تهیه گراف های بدون

پس از انجام محاسبات لازم و حل معادلات شامل انتگرال های پیچیده و نامتعارف، نتایجی از قبیل معادلات نشان دهنده پروفیل سطح مقطع کانال، معادلات منحنی سطح آزاد نشت و معادله مقدار دبی نشت حاصل می گردد. ابتدا با رسم معادله پروفیل سطح مقطع کانال یعنی معادله (۹)، فرض روش معکوس بکار رفته، کنترل گردیده و سپس معادله منحنی سطح آزاد نشت نیز همراه با معادله پروفیل سطح مقطع کانال برای یک حالت خاص در شکل (۶) رسم می گردد. در این شکل معادلات حاصل شده توسط روش تحلیلی بکار گرفته شده در قالب یک مثال خاص رسم می شوند تا معادلات بدست آمده حالت ملموس تری را داشته باشند. سپس محدودیت روش های کازنی و نیز ودرنیکف- پاولوفسکی در مورد کانال مطالعه حاضر بررسی شد. این محدودیت در شکل (۷) نشان داده شد که در حالت عمیق کاربرد عملی خود را از دست می دهد.

منحنی های بدون بعد شکل های (۸) الی (۱۰) نیز برای محاسبه مقدار تابع نشت و عرض نشت در لایه زهکش بر حسب تغییرات عمق لایه زهکش و نیز تغییرات عرض سطح آب رسم شدند. از منحنی های بدست آمده مشاهده می شود که در حالت کلی دبی نشت از کانالی که در زیر آن لایه زهکش در عمق محدودی قرار گرفته است در مقایسه با حالتی که لایه مذکور در عمق بسیار زیاد قرار دارد بیشتر می باشد. با افزایش نسبت T/y ، تابع نشت افزایش می یابد. اما این موضوع در مورد تغییرات دبی نشت فرق می کند یعنی بر حسب افزایش و یا کاهش هر کدام از پارامترهای T یا y و ثابت بودن دیگری متفاوت می باشد. در واقع با ثابت بودن عمق و افزایش عرض سطح آب، هرچه نسبت T/y افزایش یابد دبی نشت هم افزایش عمق، هرچه نسبت T/y کاهش یابد دبی نشت افزایش خواهد یافت. در واقع در حالت دوم نسبت معکوسی بین تغییرات T/y و دبی نشت وجود دارد. همین بحث انجام گرفته در مورد تغییرات B/y نسبت به تغییرات d'/y نیز وجود دارد. طبیعی است هرچه مقدار دبی نشت از کانالی بیشتر باشد عرض نشت آن هم بیشتر است در حالی که ممکن است مقدار B/y آن در مقایسه با کانالی که مقدار دبی نشت آن کمتر است، کمتر باشد. برای یک مقدار معلوم T/y با افزایش مقدار d'/y ، مقدار تابع نشت کاهش و مقدار پارامتر α افزایش خواهد یافت و به سمت یک میل می کند. برای یک مقدار معلوم d'/y نیز با افزایش مقدار T/y مقدار تابع نشت افزایش و مقدار پارامتر α کاهش می یابد و به مقدار صفر نزدیک می گردد. همچنین لازم به ذکر است که وقتی $d'/y = 1$ باشد یعنی لایه زهکش به بستر کانال برسد، مقدار دبی نشت حداکثر مقدار خود را خواهد داشت.

Kacimov, A. R. (2003), "Discussion of "Design of minimum seepage loss non-polygonal canal sections" by Prabhata K. Swamee and Deepak Kashyap", J. of Irrigation and Drainage Engineering, ASCE, Vol. 129, No. 1, 68-70.

Kovacs, G., "Seepage Hydraulics", Elsevier Scientific Publishing Company, 1981.

Liggett, J. A. and P. L. F. Liu (1983), "The boundary integral equation method for porous media flow" Allen and Unwin, St. Leonards, N. S. W., Australia.

Polubarinova-Kochina, P. Y. (1962), "Theory of groundwater movement" Princeton University Press, Princeton, N.J.

Remson, I., G. M. Hornberger and F. J. Molz (1971), "Numerical methods in subsurface hydrology" Wiley-Interscience, Hoboken, N. J.

Swamee, P.K. and D. Kashyap (2001), "Design of minimum seepage loss non-polygonal canal sections", J. of Irrigation and Drainage Engineering, ASCE, Vol.127, No.2, 113-117.

Swamee, P. K. and D. Kashyap (2004) "Design of minimum seepage loss nonpolygonal canal sections with drainage layer at shallow depth", J. of Irrigation and Drainage Engineering, ASCE, Vol.130, No.2, 166-170.

Wolfram, S. (2003), "Mathematica. A system for doing mathematics by Computer" Addison-Wesley, Redwood City, Calif.

بعد مانند اشکال (۸) و (۹)، نتایج بصورت کاربردی تری در آمدند بطوریکه در کارهای عملی می توان بدون استفاده از ابزار و تجهیزات میدانی پیشرفته و تنها با برداشت برخی از اطلاعات سطحی هندسی و هیدرولیکی، تخمین نسبتاً دقیقی از میزان نشت و یا عرض آن در عمق خاک زیر بستر بدست آورد.

مراجع

Anakhaev, K. N. (2004), "Free percolation and seepage flows from water-courses" J. Fluid Dyn., Vol.39, No.5, 756-761.

Chahar, B. R. (2001), "Extension of Vedernikov's graph for seepage from canals" Ground Water, Vol.39, No.2, 272-275.

Chahar, B.R., "Analysis of seepage from polygon channels", J. of Hydraulic Engineering, ASCE, Vol.133, No.4, 451-460, 2007.

Halek, V. and J. Svec (1979), "Groundwater Hydraulics", Elsevier Scientific Publishing Company.

Harr, M. E. (1962), "Groundwater and Seepage" McGraw-Hill Inc., New York, N.Y.

Huyakorn, P. S. and G. F. Pinder (1983), "Computational methods in subsurface flow" Elsevier, New York.

Ilyinskii, N. B. and A. R. Kacimov (1984), "Seepage limitation optimization of the shape of an irrigation channel by the inverse boundary value problem method" J. Fluid Dyn., Vol.19, No.4, 404-410.

تاریخ دریافت: ۸۸/۵/۲۶

تاریخ پذیرش: ۸۸/۱۱/۱۴

Archive

Analytical method in seepage computation from a canal with a semi-elliptic section using conformal mapping

H. Mojtaheddi¹ and M.F. Maghrebi^{2*}

Abstract

In this article the analytical solution has been presented for computing the unconfined steady state seepage from a curved canal with semi-elliptic cross section. The analytical solution of seepage from curved canals has not generalized because of the difficulty of conformal mapping of their cross sections. In the present study, velocity hodograph and Schwarz-Christoffel transformation have been used. Also the inverse method is used to obtain the mapping of canal cross section profile in which the profile boundary of actual canal cross section is mapped along a circle in the velocity hodograph plane. Computations are performed for the steady seepage from semi-elliptic canal in which a drainage layer has lied in limited depth below the bed of the canal. From this method, one could obtain the quantity of seepage discharge with the assumption of resting the drainage layer at infinite depth. From the presented solution also some of the items such as, seepage discharge, parametric equations for presenting the loci of phreatic line and the quantity of seepage width at drainage layer could be obtained. Moreover, the accuracy of inverse method in comparison to the analytical methods of other researchers such as Kozeny is acceptable and does not have the limitation of Kozeny's method, in other words, Kozeny's method is impracticable in canal cross sections with small ratio of free water surface width to depth.

Key Words: seepage, conformal mapping, inverse method, drainage layer, phreatic line.

1 - Senior Eng., hydraulic structure

2- Assoc. prof. Ferdowsi Univ. of Mashhad

(* - Corresponding author Email: maghrebi@um.ac.ir